

## НЕУПРУГИЕ ДИФФЕРЕНЦИАЛЬНЫЕ СЕЧЕНИЯ ПРИ ВЫСОКИХ ЭНЕРГИЯХ И ДУАЛЬНОСТЬ

О.В.Канчели

Рассмотрим процесс столкновения двух адронов с 4-импульсами  $p_a$  и  $p_b$  с образованием одной частицы с 4-импульсом  $p$  и пучка  $\{X\}$  из произвольного числа частиц с полной массой  $\nu^{1/2}$ , где  $\nu = (p_a + p_b - p)^2$ . Если  $s = (p_a + p_b)^2 \gg m^2$ ,  $s \gg \nu$  то полное дифференциальное сечение  $d^3\sigma/dp^3$  такого процесса можно выразить через  $U_{a_1 a_2}$  - амплитуду рассеяния реджиона на частице. Ниже также показано, что гипотеза о дуальных свойствах  $U_{a_1 a_2}$  позволяет сделать ряд заключений о поведении  $d^3\sigma/dp^3$ .

При  $s \gg \nu$  амплитуду процесса  $p_a + p_b \rightarrow p + k_1 + \dots + k_n$  (см. рис. 1) можно записать [1] в реджевской форме:

$$A_n(p_a + p_b \rightarrow p + k_1 + \dots + k_n) = \sum_{\{a\}} g_a(t) G_a(s, t) Y_a^{(n)}(t, \nu; k_i) \theta_a(t), \quad (1)$$

где  $G_a(s, t) = (s/s_0)^{\alpha(t)}$  (гриновская функция реджиона  $a$ ,  $\theta_a(t)$  - сигнатурный множитель,  $t = (p_a - p)^2$ ;  $Y_a^{(n)}$  - амплитуда перехода реджиона  $a$  и частицы  $p_b$  в пучок из  $n$  частиц с импульсами  $k_i$  и полной массой  $\nu^{1/2}$ . Запишем, исходя из (1), выражение для полного дифференциального сечения:

$$\frac{d^3\sigma}{d^3p} = \frac{1}{(2\pi)^{32}\epsilon} \frac{1}{4|p_a| \sqrt{s}} \sum_{\{a_1 a_2\}} g_{a_1}(t) g_{a_2}(t) G_{a_1}(s, t) G_{a_2}(s, t) \theta_{a_1}(t) \times \\ \times \theta_{a_2}^*(t) \tilde{U}_{a_1 a_2}(\nu, t), \quad (2)$$

$$U_{a_1 a_2}(\nu, t) = \frac{(2\pi)^4}{2} \sum_{n=1}^{\infty} \int \prod_{i=1}^n \frac{d^3 k_i}{(2\pi)^{32} 2k_{i0}} \delta^4(p_a + p_b - p - \sum_{i=1}^n k_i) Y_{a_1}^{(n)}(t, \nu; k_i) \times \\ \times Y_{a_2}^{*(n)}(t, \nu; k_i) \quad (3)$$

— абсорбиционная часть по  $\nu$  амплитуды перехода  $(b) + (a_1) \rightarrow (b) + (a_2)$  с равным нулю переданным импульсом [2]. Члены в сумме (2) по  $\{a_1, a_2\}$  соответствует диаграмме рис. 2.

При больших  $\nu$  поведение  $U_{a_1 a_2}(\nu, t)$  также является реджевским:

$$U_{a_1 a_2}(\nu, t) / (\nu/s_0)^{-a_1(t) - a_2(t)} \sum_{\{\beta\}}^{\beta} \gamma_{a_1 a_2}^{\beta}(t) G_{\beta}(\nu, 0) g_{\beta}(0) \theta_{\beta}(0). \quad (4)$$

В (4) множитель  $(\nu/s_0)^{-a_1 - a_2}$  — кинематического характера и связан с принятым выше определением  $\tilde{U}_{a_1 a_2}$  (см. [2]). Отметим, что именно этот множитель обеспечивает правильный переход к мультиреджевскому режиму [1] для процессов рис. 1. Примем, что  $\gamma_{a_1 a_2}^{\beta}$  — вершины перехода реджионов  $a_1$  и  $a_2$ , в реджион  $\beta$  вещественны, поскольку они входят в (4) при значениях аргументов ниже порогов рождения реальных частиц, а особенностями, связанными

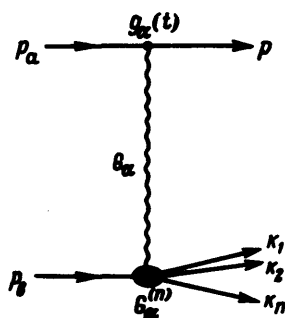


Рис. 1

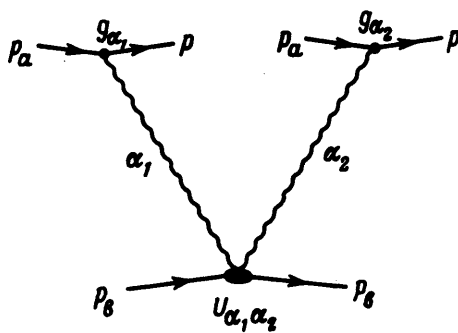


Рис. 2

с порогами образования нескольких реджионов, мы будем пренебрегать; тогда получим:  $\tilde{U}_{a_1 a_2} = (\nu/s_0)^{-a_1 - a_2} \sum_{\{\beta\}}^{\beta} \gamma_{a_1 a_2}^{\beta} G_{\beta} g_{\beta} \text{Im} \theta_{\beta}(0)$ .

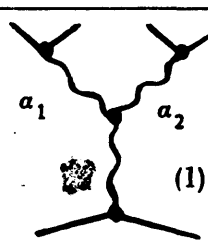
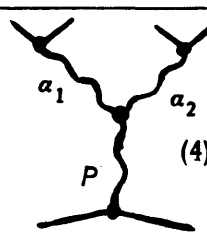
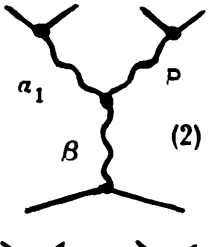
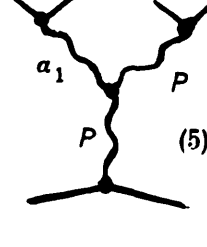
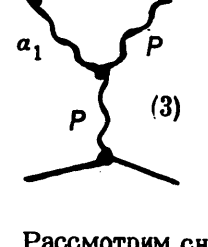
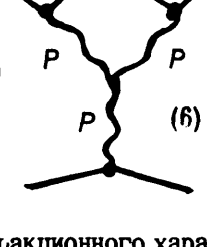
Подставляя  $\tilde{U}_{a_1 a_2}$  в (2) при  $s \gg \nu, \nu \gg m^2$  будем иметь:

$$\frac{d^2 \sigma}{d\nu dt} = \frac{1}{2\pi^2} \sum_{\{a_1 a_2 \beta\}} \left(\frac{s}{s_0}\right)^{a_1(t) + a_2(t) - 2} \left(\frac{\nu}{\nu_0}\right)^{\beta(0) - a_1(t) - a_2(t)} \times$$

$$\times [g_{a_1}(t) g_{a_2}(t) \gamma_{a_1 a_2}^{\beta}(t) g_{\beta}(0)] [\theta_{a_1}^*(t) \theta_{a_2}^*(t) \text{Im} \theta_{\beta}(0)]. \quad (5)$$

Предположим, что  $U_{a_1 a_2}$  имеет дуальные свойства, аналогичные приближенным дуальным свойствам четыреххвостки с реальными частицами [3]. Это означает, что реджевские вклады (4) определяют резонансную часть амплитуды  $U_{a_1 a_2}$  в " $\nu$ -канале". При этом вклад полюса Померанчука ( $P$ ) в (4) должен

быть выделен: он соответствует фону в " $\nu$ -канале" [4]. Мы также примем [3, 5], что  $U_{a_1 a_2}$  определяется, в среднем, выражением (4) и в области небольших  $\nu$ . Отделяя, кроме того,  $P$  из  $\{a_1, a_2\}$ , приходим к классификации вкладов (5) в  $d^2\sigma/d\nu dt$ , описанной в таблице.

Диаграмма	Интерпретация вклада	Диаграмма	Интерпретация вклада
 (1)	Недифракционное рождение резонансов	 (4)	Недифракционный фон
 (2)	Интерференционное рождение резонансов	 (5)	Интерференционный фон
 (3)	Дифракционное рождение резонансов	 (6)	Дифракционный фон

Рассмотрим сначала процессы недифракционного характера, когда в  $\{a_1, a_2\}$  не может быть  $P$ , такие как  $\pi^\pm N \rightarrow \pi^0 \{X\}$ ,  $\pi^\pm N \rightarrow K^\pm \{X\}$ ,  $\pi^\pm p \rightarrow p \{X\}$

и т. д. Из (5) следует, что  $\frac{d^2\sigma(\text{резонансы})}{d\nu dt} / \frac{d^2\sigma(\text{фон})}{d\nu dt} \sim \nu^{\beta(\sigma) - \alpha_p(\sigma)} \sim \nu^{-1/2}$

и не зависит от  $s$ . Поведение же резонансной и фоновой частей  $d^2\sigma/d\nu dt$  сильно зависит от  $s$  и типа реакции. Так в реакции  $\pi^\pm N \rightarrow \pi^0 \{X\}$  фон слабо зависит от  $\nu$ , а в  $\pi^- p \rightarrow p \{X\}$  (рассеяние назад) фон растущий. В последнем случае  $a_1$  и  $a_2$  есть  $\Delta$  траектории,  $\beta = (\rho, \omega, f, A_2)$ , и из (5) получаем:  $\sigma(\text{фона}) \sim \nu^{0.7+1}$ ,  $\sigma(\text{резонансов}) \sim \nu^{0.2+0.5}$ , в зависимости от значения  $\alpha_\Delta(0) \sim 0.15 + 0$ . Полу-

ченный в работе [6] бозонный спектр по  $\nu$  в реакции  $\pi^- p \rightarrow p \{X\}$  при  $|p_\pi| = 16 \text{ Гев}/c$  качественно такого типа. Сечение рождения резонансов, которое дается вкладами диаграмм первого столбца таблицы, включает как резонансы, лежащие на основных, так, вообще говоря, и на дочерних траекториях в " $\nu$ -канале". Поэтому  $2\nu_0^{1/2} \Gamma(\nu_0) \frac{d^2\sigma(\text{рез})}{d\nu dt}$  дает, по порядку величины, сечение рождения данного резонанса и его дочерних ( $\Gamma(\nu_0)$  — ширина резонанса с массой  $\nu_0^{1/2}$ ). Отсюда следует, что сечение рождения резонансов, лежащих на вырожденных траекториях  $(\rho, \omega, f, A_2)$ , в реакции  $\pi^\pm N \rightarrow (\rho, \omega, f, A_2)N$  как функция от мас-

сы  $M$  есть  $d\sigma(M)/dt \sim \Gamma(M^2)$ , ( $t \sim 0$ ). Сечение рождения тех же резонансов назад ( $v \sim 0$ , фермионный обмен) в реакции  $\pi^\pm N \rightarrow N(\rho, \omega, f, A_2)$  растущее  $d\sigma(M)/dt \sim \Gamma(M^2) M^{1.4+2}$ , ( $t \sim 0$ ).

Перейдем к процессам, в которых среди  $\{a_1, a_2\}$  может быть  $P$ , таким как  $\pi^\pm N \rightarrow \pi^\pm \{X\}$  и т. д. К рассмотренным выше вкладам добавляются вклады диаграмм (2), (3), (5), (6) таблицы. Диаграммы (2) и (3) описывают рождение резонансов. Поскольку  $P$  имеет вакуумные квантовые числа эти резонансы лежат на тех же траекториях, что и частицы ( $P_b$ ); в реальных экспериментах это  $\pi, K, N$ . Диаграмма (6) дает диффракционный фон, который доминирует

при больших  $s$ , ее вклад в  $d^2\sigma/dvdt \sim \frac{\gamma_{PP}^P(t)}{v} \left(\frac{s}{v}\right)^{2\alpha'_{P'}t}$ . Отношение

$\sigma$  (диффр. рез)/ $\sigma$  (диффр. фон)  $\sim v^{-1/2} \gamma_{PP}^f / \gamma_{PP}^P$ , но, по-видимому,

$\gamma_{PP}^f / \gamma_{PP}^P \ll 1$ . Интерференционное рождение резонансов (диаграмма 2) также подавлено из-за приближенного обменного вырождения траекторий и вершин реджионов ( $\rho, \omega, f, A_2$ ).

Записывая  $d^2\sigma/dvdt$  из (5) в виде  $Ae^{-\alpha t}$ , получаем  $\alpha = \alpha' \ln s/v$ , т. е. конус в распределении по  $t$  расширяется при росте  $v$ , что характерно для существующих экспериментальных данных. Выше мы приняли, что эффекты перенормировки  $\gamma_{a_1 a_2}^B$  за счет взаимодействия с реджионами малы. Однако это может быть неверным для вершины  $\gamma_{PP}^P$  (см. [2]). В частности, возможно [2], что  $\gamma_{PP}^P(t) \sim t$ . Это отразится на поведении фона в  $d^2\sigma/dvdt$  при  $t \rightarrow 0$  и больших  $s$  и  $v$ .

В заключение отметим преимущество недиффракционных процессов для изучения рождения тяжелых резонансов при больших  $s$  методом недостающей массы. Это следует из того, что, как продемонстрировано выше,  $\sigma$  (резонансы)/ $\sigma$  (фон) при больших  $s$  мало в диффракционных реакциях и не мало в недиффракционных.

Автор благодарен С.Г.Матияну за обсуждения и ценные замечания, И.Д.Манджavidзе за стимулирующие обсуждения вопросов, затронутых в данной работе. Автор также признателен В.А. Абрамовскому и Э.В.Гедалину за интерес к работе и полезные советы.

Институт физики  
Академии наук Грузинской ССР

Поступила в редакцию  
6 марта 1970 г.

### Литература

- [1] К.А.Тер-Мартirosyan. Nucl. Phys., 68, 591, 1964.
- [2] В.Н.Грибов, А.А.Мигдал. ЯФ, 8, 1002, 1968.
- [3] R.Dolen, D.Horn, C.Schmid. Phys. Rev., 166, 1768, 1968.
- [4] H.Harrari. Phys. Rev. Lett., 20, 1395, 1968.
- [5] G.Chew, A.Pignotti. Phys. Rev. Lett., 20, 1078, 1968.
- [6] E.W.Anderson. et al. Phys. Rev. Lett., 22, 1390, 1969.